

01

©1994 г.

## О КРИТЕРИИ СТЕПЕНИ УПОРЯДОЧЕННОСТИ РЕЖИМОВ АВТОКОЛЕБАНИЙ. ИЛЛЮСТРАЦИЯ С-ТЕОРЕМЫ КЛИМОНТОВИЧА

*В.С.Анищенко, П.И.Сапарин, Т.Г.Анищенко*

Саратовский государственный университет им. Н.Г. Чернышевского,  
410601, Саратов, Россия  
(Поступило в Редакцию 10 января 1994 г.)

Нелинейные динамические системы демонстрируют широкое разнообразие автоколебательных режимов от простых регулярных до сложных хаотических [1–3]. Возникает потребность введения количественного критерия сложности, позволяющего оценивать степень упорядоченности режима колебаний. Для систем, заданных обыкновенными дифференциальными уравнениями в  $R^N$ , таким критерием бесспорно служит энтропия Крылова–Колмогорова–Синая ( $K$ -энтропия). Ее оценкой является сумма положительных показателей Ляпунова [1–3].

Однако использование  $K$ -энтропии как меры неупорядоченности ограничено, по сути говоря, случаем задания оператора эволюции в виде конечномерной дифференциальной системы. Кроме того, как известно,  $K$ -энтропия нечувствительна к изменениям регулярных режимов колебаний и их бифуркациям. Вопрос еще более осложняется при экспериментах с распределенными системами, когда информации об операторе эволюции нет вообще.

С проблемами оценки степени упорядоченности сложных режимов колебаний, наблюдавшихся в экспериментах, приходится сталкиваться все чаще, особенно при решении различного рода диагностических задач [4,5]. В этих ситуациях качественными критериями степени сложности являются спектры мощности, топология и размерности реконструированных аттракторов и т. д. Однако до сих пор мы не располагаем бесспорным критерием степени сложности режимов колебаний в нелинейных системах по данным эксперимента.

В этой ситуации естественно желание использовать в качестве критерия сложности динамики энтропию распределения по Шеннону. Энтропия определяется вероятностной мерой, в предположении эргодичности может быть вычислена по измеренному закону распределения и могла бы служить количественным критерием степени сложности динамики системы.

Однако опыт показал, что использование энтропии неприемлемо в случае открытых систем. Закон распределения (и соответственно энтропия) открытых систем зависит не только от структуры режима колебаний, но и от энергии. Решение было найдено Климонтовичем [6–9].

Пусть имеется две достаточно длинные одномерные реализации  $x(t, a_0)$  и  $x(t, a_0 + \Delta a)$ , где  $t$  и  $a$  — время и параметр системы. Реализациям соответствуют нормированные распределения  $f_0(x, a_0)$  и  $f_1(x, a_0 + \Delta a)$ . Индексы 0 и 1 отвечают значениям параметра  $a_0$  и  $a_0 + \Delta a$ . Распределения определяют соответствующие энтропии Шенвона

$$S_0 = - \int f_0(x) \ln f_0(x) dx, \quad S_1 = - \int f_1(x) \ln f_1(x) dx. \quad (1)$$

Теорема Климонтовича [6] указывает способ сравнения степени упорядоченности этих двух состояний. Предположим, что состояние 0 более неупорядочено. Справедливость этого допущения необходимо подтвердить вычислениями. Введем эффективный гамильтониан системы  $H_{\text{eff}}(x)$

$$H_{\text{eff}}(x) = -\ln f_0(x), \quad f_0(x) = \exp[-H_{\text{eff}}(x)], \quad \int f_0(x) dx = 1. \quad (2)$$

Проведем сравнение энтропий двух состояний при условии равенства средних энергий  $\langle H_{\text{eff}}(x) \rangle$ . С этой целью введем перенормированное распределение, вида  $\tilde{f}_0(x)$ , но с другой эффективной температурой

$$\tilde{f}_0(x) = \exp \left[ \frac{\Phi(T) - H_{\text{eff}}(x)}{T} \right] = C(T) \exp \left[ -\frac{H_{\text{eff}}(x)}{T} \right], \quad (3)$$

где  $\Phi(T)$  — эффективная свободная энергия,  $T$  — эффективная температура.

В соотношении (3) две неизвестных величины  $C(T)$  и  $T(\Delta a)$ . Определим их так. Для нахождения  $C(T)$  используем условие нормировки распределения (3)

$$\int \tilde{f}_0(x) dx = 1, \quad [C(T)]^{-1} = \int \exp \left[ -\frac{H_{\text{eff}}(x)}{T} \right] dx. \quad (4)$$

Функцию  $T(\Delta a)$  найдем из условия равенства энергий состояний 0 и 1

$$\langle H_{\text{eff}}(x) \rangle = \int H_{\text{eff}}(x, a_0) \tilde{f}_0(x) dx = \int H_{\text{eff}}(x, a_0) f_1(x) dx. \quad (5)$$

Решая уравнение (5), находим эффективную температуру  $T_{\text{eff}}(\Delta a)$ , которая собственно и обеспечивает равенство энергий (5). Если в результате решения

$$T_{\text{eff}}(\Delta a) \geq 1 \quad (6)$$

(равенство достигается при  $\Delta a=0$ ), т. е. для выполнения условия (5) систему в состоянии 0 нужно “подогреть”, то сделанное выше предположение о большей неупорядоченности состояния 0 верно. Соотношения (4) и (5) дают возможность найти явный вид перенормированного

распределения  $\tilde{f}_0(x)$  и, следовательно, определить разность энтропий

$$\Delta \tilde{S} = S_1 - \tilde{S}_0 = - \int f_1(x, a_0 + \Delta a) \ln \frac{f_1(x, a_0 + \Delta a)}{\tilde{f}_0(x, a_0, \Delta a)} dx \leq 0 \quad (7)$$

при условии, что  $\langle H_{\text{eff}}(x) \rangle = \text{const}$ . Разность энтропий и является количественной мерой относительной степени упорядоченности при переходе от состояния 0 в состояние 1. Результаты (6), (7) решают поставленную задачу о сопоставлении относительной степени упорядоченности выделенных состояний 0 и 1 рассматриваемой открытой системы. Результат (6) оправдывает выбор состояния 0 в качестве более хаотичного, а (7) дает количественную меру относительной степени упорядоченности; если условие (6) не выполняется, то нужно изменить выбор наиболее хаотичного состояния [8,9].

Соотношения (1)–(7) задают алгоритм расчета степени относительной упорядоченности состояний системы при условии, что заданы распределения (1). Однако в качестве распределений не обязательно использовать функции распределения координат экспериментальных реализаций  $x(t)$ . По ряду причин более предпочтительно в качестве распределений рассматривать зависимость спектральной функции от частоты (фурье-преобразование  $F(\omega)$  реализации  $x(t)$ ). При этом в выражениях (1)–(7) нужно заменить  $f_0(x)$  на  $F_0(\omega)$ ,  $f_1(x)$  на  $F_1(\omega)$ ,  $\tilde{f}_0(x)$  на  $\tilde{F}_0(\omega)$  и  $x$  на  $\omega$ .

Для расчета степени упорядоченности (7) с использованием распределений спектра  $F(\omega)$  была разработана программа и произведено ее тестирование. В качестве тестовых систем вначале были рассмотрены отображение Фейгенбаума и модель генератора с инерционной нелинейностью [3]. Обе системы реализуют переход к хаосу через каскад бифуркаций удвоения. Этот классический переход порядок–беспорядок детально исследован и может служить тестовым примером.

Рассматривалось отображение вида

$$x_{n+1} = a x_n (1 - x_n), \quad 3 \leq a \leq 4. \quad (8)$$

С целью получения непрерывного распределения спектра  $F(\omega)$  в систему (8) аддитивно вводился  $\delta$ -коррелированный шум. Слабое шумовое воздействие решало проблему вычисления эффективного гамильтонiana (2) и практически не оказывало влияния на динамику системы. Анализировались дискретные последовательности длительности  $n = 3 \cdot 10^5$ , спектр усреднялся по 18 периодограммам длительности  $n_0 = 16384$ . В качестве исходного состояния системы 0 была выбрана точка  $a = 3.0$  (первая бифуркация удвоения периода). Результаты представлены на рис. 1. Из графиков видно, что степень упорядоченности режимов монотонно увеличивается с ростом параметра  $a$  вплоть до критической точки перехода к хаосу  $a_{\text{cr}} \cong 3.57$ . Этот результат был получен нами ранее другими методами применительно к режимам генератора с инерционной нелинейностью [10].

Далее, для значений  $a > a_{\text{cr}}$  степень упорядоченности уменьшается, что обусловлено развитием динамического хаоса. Разность энтропий (7) реагирует на появления окон периодичности за критической

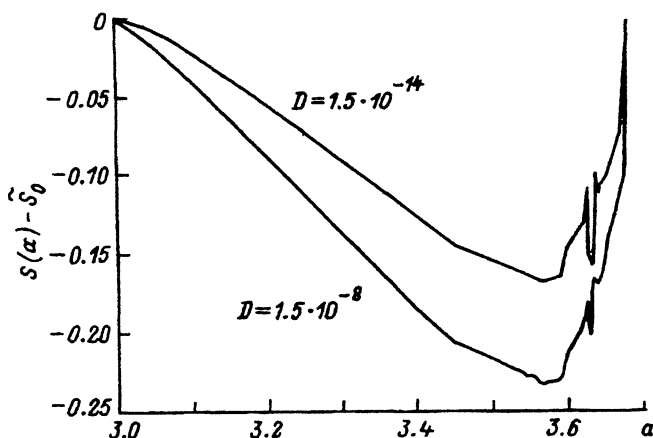


Рис. 1. Зависимость  $\Delta\tilde{S}$  от параметра  $a$  для системы (8). Опорное состояние  $a = 3.0$ .

точкой. На рис. 1 четко видно увеличение упорядоченности в области окна, отвечающего циклу периода 6 ( $a \cong 3.627$ ). Выход из окна устойчивости осуществляется также через каскад удвоений, в этой области график зависимости  $S(a) - \tilde{S}_0$  повторяет в уменьшенном масштабе форму графика рис. 1 (ср. рис. 1 и 2). Критерий (7) отражает масштабно-инвариантные свойства динамики отображения (8).

Важным свойством критерия (7) в отличие от ляпуновского показателя является заметная чувствительность к эффекту перемежаемости. Как видно из рис. 2, вблизи точки  $a \cong 3.625$  разрыва цикла периода 6 имеет место резкое увеличение разности  $S(a) - \tilde{S}_0$ , свидетельствующее об уменьшении степени упорядоченности. Именно в этой области реализуется перемежаемость типа цикл-хаос за счет взаимодействия режима хаоса и цикла периода 6.

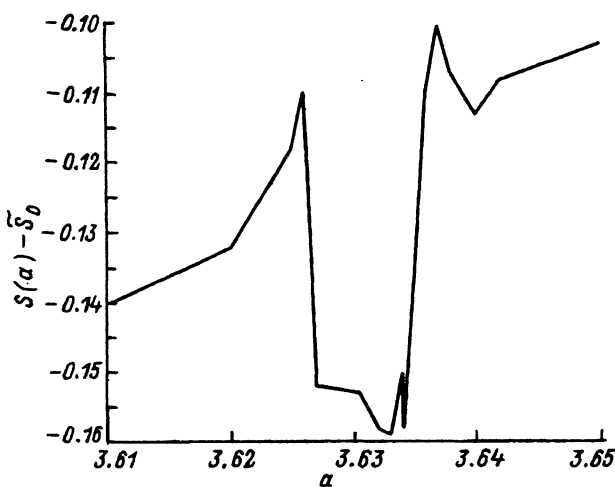


Рис. 2. Зависимость относительной степени упорядоченности  $\Delta\tilde{S}$  от параметра  $a$  вблизи окна устойчивости цикла периода 6. Опорное состояние  $a = 3.0$ .

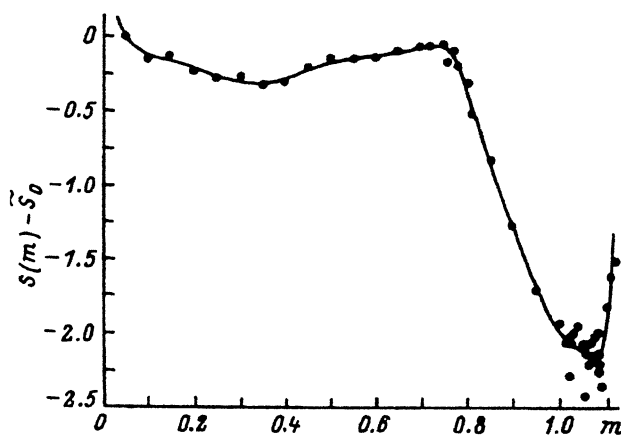


Рис. 3. Зависимость  $\Delta\tilde{S}(m)$  для модели (9). Опорное состояние выбрано вблизи порога генерации  $m = 0.03$ .

В качестве второго примера рассматривался каскад бифуркаций удвоения периода в модели генератора [3]

$$\dot{x} = mx + y - xz, \quad \dot{y} = -x,$$

$$\dot{z} = -g [z - I(x)x^2],$$

$$I(x) = \begin{cases} 1, & x > 0, \\ 0, & x \leq 0 \end{cases} \quad (9)$$

в интервале изменений  $0 \leq m \leq 1.12$  для  $g = 0.3$ . За исходное состояние принимается порог возникновения генерации  $m = 0.03$ . Анализ проводился в условиях действия аддитивного шума интенсивности  $D = 10^{-6}$ .

Результаты расчетов представлены на рис. 3. Степень упорядоченности (7) в среднем увеличивается в области  $0 < m \leq m_{cr} = 1.085$  и далее уменьшается в области хаоса. Однако в отличие от дискретной системы (8) в дифференциальной модели (9) разность  $S(m) - \tilde{S}_0$  изменяется немонотонно, демонстрируя локальные максимумы в окрестности точек бифуркаций удвоения. Обсуждение этих деталей не входит в задачу настоящей работы. Отметим лишь то, что эти эффекты на первом этапе обусловлены особенностями в поведении интенсивностей гармоник основной частоты  $f_0$ . На рис. 3 указанный эффект отражается наличием локального максимума вблизи точки первой бифуркации удвоения  $m = 0.77$ . При подходе к критической точке  $m_{cr}$  существенно возрастают ошибки в расчете спектров мощности. В связи с эффектом накопления бифуркаций и ошибками в расчете спектра при подходе к критической точке на рис. 3 приведена усредненная кривая зависимости  $S(m) - \tilde{S}_0$ . О наличии локальных максимумов для значений  $m > 1.0$  можно судить по точкам, нанесенным на рис. 3.

Проведенные эксперименты на простых моделях показали, что критерий (7) реагирует не только на бифуркацию типа порядок-беспорядок, соответствующего моменту рождения динамического хаоса, но и позволяет количественно сравнивать степень упорядоченности как регулярных, так и хаотических режимов при вариации параметра.

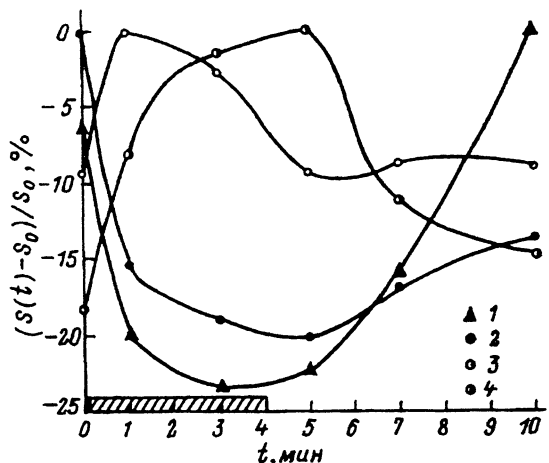


Рис. 4. Типичные зависимости относительной степени упорядоченности  $\Delta\tilde{S}$  от времени в условиях шумового стресса.

1,2 — данные расчетов  $\Delta\tilde{S}$  для мужчин; 3,4 — для женщин. В качестве нормировочного коэффициента выбиралось максимальное значение энтропии  $S_{\max} = S_0$  для каждого испытуемого в отдельности.

Совершенно ясно, что основным преимуществом критерия (6), (7) должна быть способность анализа режимов колебаний более сложных систем по данным физического эксперимента. С этой целью проводились исследования по выявлению относительной степени упорядоченности применительно к реакции на внешнее возмущение сердечно-сосудистой системы организма человека. Определялось относительное изменение степени упорядоченности сигнала электрокардиограммы (ЭКГ) во времени у человека, находящегося в спокойном состоянии, и при действии шумового возмущения. Эксперименты состояли в следующем. Записывался сигнал ЭКГ испытуемого в исходном состоянии. Затем на человека надевались наушники и в течение 4 мин проводилось прослушивание достаточно громкого шума. Записи сигналов ЭКГ осуществлялись через 1 и 3 мин после включения шума. Далее шумовой источник выключался и снимались еще 3 кардиограммы: через 1, 3 и 6 мин после выключения шума.

Экспериментальному обследованию подвергалась группа студентов юношей и девушек с целью выявления с помощью критерия (6), (7) половых различий в реакции на слабый стресс, установленных впервые в работе [11].

Результаты представлены на рис. 4. Как видно, реакция пациентов мужского пола характеризуется резким увеличением степени упорядоченности в сравнении с исходным состоянием под действием шумового стресса. Представительницы женского пола реагируют на стресс качественно иным образом. Под действием шума у женщин резко возрастает степень относительной неупорядоченности сигнала ЭКГ. Данные, приведенные на рис. 4, полностью соответствуют результатам химико-биологических исследований половых различий в реакции на стресс, представленным в работе [12]. Однако следует отметить, что результаты рис. 4 в отличие от данных [12] получены на основе исключительно численного анализа спектров фурье-сигналов ЭКГ, что не требует оперативного вмешательства и проведения сложных химических анализов.

Данные проведенных экспериментов позволяют сделать следующие основные выводы.

1. Качественный критерий Климонтовича относительной степени упорядоченности (7), базирующийся на *S*-теореме, не противоречит классическим представлениям о переходе к хаосу по сценарию Фейгенбаума.

2. Критерий Климонтовича (7) в отличие от *K*-энтропии позволяет сравнивать степень порядка (беспорядка) не только хаотических, но и регулярных режимов функционирования открытых систем.

3. Критерий (7) является эффективной количественной характеристикой относительной степени упорядоченности режима колебаний, которая вычисляется путем компьютерной обработки спектральной функции одномерной экспериментальной реализации и не требует знания конкретного эволюционного оператора системы.

В заключение мы выражаем искреннюю благодарность Ю.Л. Климонтовичу и А.Б. Нейману за плодотворное обсуждение, ряд конструктивных замечаний и помошь в реализации программы численных экспериментов.

### Список литературы

- [1] Шустер Х.Г. Детерминированный хаос. М: Наука, 1988.
  - [2] Лихтенберг А., Либерман М. Регулярная и стохастическая динамика. М: Мир, 1984.
  - [3] Анищенко В.С. Сложные колебания в простых системах. М: Наука, 1990. 311 с.
  - [4] Анищенко В.С., Сапарин П.И., Сафонова М.А. // РиЭ. 1992. Т. 37. Вып. 3. С. 467–478.
  - [5] Landa P.S., Rosenblum M.G. // Phys. D. 1991. Vol. 48. N 2. P. 232–254.
  - [6] Климонтович Ю.Л. // Письма в ЖТФ. 1983. Т. 9. Вып. 23. С. 1412–1416.
  - [7] Климонтович Ю.Л. // УФН. 1989. Т. 158. № 1. С. 59–91.
  - [8] Климонтович Ю.Л. // Письма в ЖТФ. 1988. Т. 14. Вып. 7. С. 631–634.
  - [9] Климонтович Ю.Л. Турбулентное движение и структура хаоса. Новый подход к статистической теории открытых систем. М: Наука, 1990.
  - [10] Анищенко В.С., Климонтович Ю.Л. // Письма в ЖТФ. 1984. Т. 10. Вып. 14. С. 876–880.
  - [11] Анищенко Т.Г. // Успехи современной биологии. 1991. Т. 3. Вып. 3. С. 460–475.
  - [12] Анищенко Т.Г. Автореф. докт. дис. М., 1993.
-